

## ЦИФРОВЫЕ ПРИБОРЫ И ПРЕОБРАЗОВАТЕЛИ

УДК 621.378

В. И. ЛЕВИН

(Riga)

### ТОЧНОСТЬ ЦИФРОВОГО ИЗМЕРЕНИЯ В ПРИСУТСТВИИ ВНУТРЕННИХ ПОМЕХ

При построении цифровых измерительных приборов (ЦИП) возникает сложная задача обеспечения требуемой точности измерений. Последняя определяется точностью преобразования «аналог — код». Приято считать, что погрешность аналого-цифрового преобразователя вызывается в основном квантованием преобразуемой величины по уровню и времени и неидеальностью характеристик аналоговых элементов [1]. Помимо указанных факторов, влияющих на точность работы ЦИП, необходимо учитывать помехоустойчивость цифровой части ЦИП [2]. Последний фактор при определенном уровне внешних и внутренних помех может оказывать значительное влияние.

Рассмотрим ЦИП, построенные по принципу последовательного счета [1]. В этих приборах основным источником погрешности, связанной с действием помех, является счетчик числа импульсов, пропорционального измеряемой величине. На рис. 1 показан обычный  $n$ -разрядный двоичный счетчик на триггерах. Каждый триггер под действием единичного импульса меняет состояние на противоположное, причем, если он совершает переход из состояния 1 в состояние 0, на его выходе появляется единичный импульс, который запускает следующий триггер. На вход первого триггера, образующего младший разряд, поступает последовательность единичных импульсов. В результате действия этой последовательности счетчик совершает циклические переходы:  $00\dots0$  (состояние 1)  $\rightarrow 10\dots0$  (состояние 2)  $\rightarrow \dots01\dots1$  (состояние  $2^n - 1$ )  $\rightarrow 11\dots1$  (состояние  $2^n$ )  $\rightarrow$  состояние 1 и т. д., так что код состояния счетчика показывает в двоичной записи число поданных на него единичных импульсов. В случае измерений счетчик работает непрерывно лишь в течение времени, не превышающего один цикл. Однако в общем случае он может работать непрерывно в течение любого числа циклов. Такая ситуация, например, имеется в многоканальных устройствах автоконтроля, где счетчики используются для периодического переключения датчиков.

Описанная картина работы счетчика искажается под действием случайных помех следующим образом; триггер  $i$ -го разряда может не сработать, когда это необходимо (вероятность такой ошибки равна  $\epsilon_n$ ),

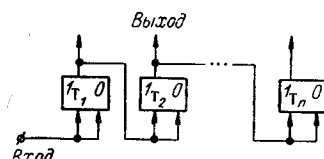


Рис. 1.  $n$ -разрядный двоичный счетчик.

либо сработать, когда этого не требуется (вероятность такой ошибки равна  $\varepsilon_{il}$ ). Указанные ошибки приводят к погрешности показаний счетчика. Задача состоит в нахождении распределения вероятностей этой погрешности при любом числе разрядов  $n$  и после любого числа  $t$  входных импульсов (тактов). Решение этой принципиальной задачи позволяет найти различные статистические характеристики погрешности показаний счетчика.

Имеется готовый математический аппарат (теория возмущения матричных произведений [3]), который позволяет получить решение поставленной задачи для каждого отдельного (но не слишком большого)  $n$ . Для решения в общем виде здесь применим другой прием.

На каждом такте в триггере  $i$ -го ( $i=1, 2, \dots, n$ ) разряда возможна одна из следующих ситуаций, связанных с появлением ошибки:

a) несрабатывание; число  $A_i$ , содержащееся в старших разрядах, начиная с  $i$ -го, отлично от 11...1; при этом погрешность показаний счетчика  $= 2^{i-1}$ ;

b) ложное срабатывание при  $A_i \neq 11\dots1$ ; погрешность  $= 2^{i-1}$ ;

c) несрабатывание при  $A_i = 11\dots1$ ; погрешность  $= \sum_{k=i-1}^{n-1} 2^k = 2^n - 2^{i-1}$ ;

d) ложное срабатывание при  $A_i = 11\dots1$ ; погрешность  $= \sum_{k=i-1}^{n-1} \times \times 2^k = -2^n + 2^{i-1}$ .

Обозначим через  $B_{ri}(t)$  ( $r=a, b, c, d$ ) число тактов (из общего их числа  $t$ ), в которых возможно событие  $r$  в  $i$ -м триггере. Примем линейное приближение относительно  $\varepsilon_{ih}, \varepsilon_{il}$ , т. е. будем считать, что за время  $t$  может произойти не более одной ошибки одного триггера. Тогда распределение вероятностей погрешности в счетчике, проработавшем  $t$  тактов, может быть представлено таблицей.

Вероятность	$B_{ai}(t) \varepsilon_{ih}$	$B_{bi}(t) \varepsilon_{ia}$	$B_{ci}(t) \varepsilon_{ih}$	$B_{di}(t) \varepsilon_{il}$	$1 - \sum_{i=1}^n \{ \varepsilon_{ih} (B_{ai}(t) + B_{ci}(t)) + \varepsilon_{ia} (B_{bi}(t) + B_{di}(t)) \}$
Погрешность	$-2^{i-1}$	$2^{i-1}$	$2^n - 2^{i-1}$	$-2^n + 2^{i-1}$	0
$i = 1, 2, \dots, n$					

Таким образом, поставленная задача свелась к нахождению функций  $B_{ri}(t)$ . Последнее можно выполнить геометрически. Действительно, при работе счетчика интервалы с  $A_i = 11\dots1$  (обозначим их  $B$ ) и с  $A_i \neq 11\dots1$  (обозначим их  $A$ ) чередуются и имеют длину соответственно  $2^{i-1}$  и  $2^n - 2^{i-1}$  тактов. В то же время такты, в которых должен сработать  $i$ -й триггер (обозначим их  $Q$ ), следуют с периодом  $2^{i-1}$ . Поэтому работу счетчика можно изобразить графически (рис. 2). В терминах рис. 2 искомые функции интерпретируются таким образом:  $B_{ai}(t)$  — число тактов вида  $Q$  в интервалах  $A$  (событий  $QA$ ) за время  $t$ ;  $B_{bi}(t)$  — число тактов вида  $R$  в интервалах  $A$  (событий  $RA$ ) за время  $t$ ;  $B_{ci}(t)$  — число тактов

вида  $Q$  в интервалах  $B$  (событий  $QB$ ) за время  $t$ ;  $B_{ai}(t)$  — число тактов вида  $R$  в интервалах  $B$  (событий  $RB$ ) за время  $t$ .

Теперь для нахождения функций  $B_{ri}(t)$  остается выполнить по рис. 2 несложные подсчеты. Начнем с функции  $B_{ci}(t)$ .

Обозначим  $N_F(T)$  число событий  $F$  в интервале времени  $T$ . Тогда

$$B_{ci}(t) = N_{QB}(t). \quad (1)$$

Поскольку события  $Q$  следуют с периодом, равным длине интервала  $B$ , на каждый полный интервал  $B$  приходится ровно одно событие  $QB$  (см. рис. 2). Кроме того, одно событие  $QB$  может содержаться в последнем, усеченному, интервале  $B$ . Отсюда

$$\begin{aligned} N_{QB}(t) &= \left[ \frac{t}{2^n} \right] + \\ &+ 1(D - l), \end{aligned} \quad (2)$$

где  $[x]$  — целая часть  $x$ ;

$$1(x) = \begin{cases} 1, & x > 0; \\ 0, & x \leq 0. \end{cases} \quad (3)$$

Из рис. 2 видно, что

$$l = t - \left[ \frac{t}{2^{i-1}} \right] 2^{i-1}; \quad (4)$$

$$D = \left( t - \left[ \frac{t}{2^n} \right] 2^n - 2^n + 2^{i-1} \right)_+, \quad (5)$$

где

$$(x)_+ = \begin{cases} x, & x \geq 0; \\ 0, & x < 0. \end{cases} \quad (6)$$

Из полученных выражений после необходимых упрощений находим

$$B_{ci}(t) = \left[ \frac{t}{2^n} \right] + 1 \left\{ \left[ \frac{t}{2^{i-1}} \right] 2^{i-1} + 2^{i-1} - \left[ \frac{t}{2^n} \right] 2^n - 2^n \right\}. \quad (7)$$

Функцию  $B_{ai}(t)$  можно записать следующим образом:

$$B_{ai}(t) = N_{QA}(t) = N_Q(t) - N_{QB}(t) = N_Q(t) - B_{ci}(t). \quad (8)$$

Поскольку

$$N_Q(t) = \left[ \frac{t}{2^{i-1}} \right], \quad (9)$$

получаем

$$B_{ai}(t) = \left[ \frac{t}{2^{i-1}} \right] - \left[ \frac{t}{2^n} \right] - 1 \left\{ \left[ \frac{t}{2^{i-1}} \right] 2^{i-1} + 2^{i-1} - \left[ \frac{t}{2^n} \right] 2^n - 2^n \right\}. \quad (10)$$

Для функции  $B_{ai}(t)$  справедливо выражение

$$B_{di}(t) = N_{RB}(t) = N_B(t) - N_{QB}(t) = N_B(t) - B_{ci}(t). \quad (11)$$

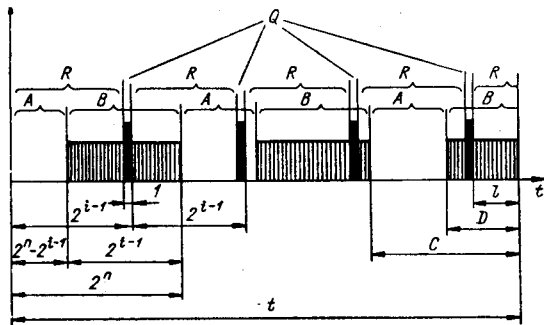


Рис. 2. График работы счетчика.

Но из рис. 2 видно, что

$$N_B(t) = \left[ \frac{t}{2^n} \right] 2^{i-1} + D. \quad (12)$$

Теперь с учетом (5), (7) находим

$$\begin{aligned} B_{di}(t) &= \left[ \frac{t}{2^n} \right] (2^{i-1} - 1) + \left( t - \left[ \frac{t}{2^n} \right] 2^n - 2^n + 2^{i-1} \right)_+ - \\ &- 1 \left\{ \left[ \frac{t}{2^{i-1}} \right] 2^{i-1} + 2^{i-1} - \left[ \frac{t}{2^n} \right] 2^n - 2^n \right\}. \end{aligned} \quad (13)$$

Наконец, для функции  $B_{bi}(t)$  можно записать

$$\begin{aligned} B_{bi}(t) &= t - \{N_Q(t) + N_B(t) - N_{QB}(t)\} = \\ &= t - N_Q(t) - N_B(t) + B_{ci}(t). \end{aligned} \quad (14)$$

Подставляя в правую часть (14) найденные выше выражения, установим

$$\begin{aligned} B_{bi}(t) &= t - \left[ \frac{t}{2^{i-1}} \right] - \left[ \frac{t}{2^n} \right] 2^{i-1} - \left( t - \left[ \frac{t}{2^n} \right] 2^n - 2^n + 2^{i-1} \right)_+ + \\ &+ \left[ \frac{t}{2^n} \right] + 1 \left\{ \left[ \frac{t}{2^{i-1}} \right] 2^{i-1} + 2^{i-1} - \left[ \frac{t}{2^n} \right] 2^n - 2^n \right\}. \end{aligned} \quad (15)$$

Формулы (7), (10), (11), (15) совместно с таблицей задают распределение вероятностей погрешности счетчика в общем случае. Однако наибольший практический интерес представляют следующие два частных случая: 1) работа счетчика в течение времени  $t$ , не превышающего цикл, т. е.  $t \leq 2^n - 1$  (режим счета); 2) работа счетчика в течение времени  $t$ , значительно превышающего цикл, т. е.  $t \gg 2^n$  (режим периодического переключения  $2^n$  объектов). В первом случае выражения функции  $B_{ri}(t)$  принимают вид:

$$B_{ci}(t) = 0; \quad (16)$$

$$B_{ai}(t) = \left[ \frac{t}{2^{i-1}} \right]; \quad (17)$$

$$B_{di}(t) = (t - 2^n + 2^{i-1})_+; \quad (18)$$

$$B_{bi}(t) = t - \left[ \frac{t}{2^{i-1}} \right] - (t - 2^n + 2^{i-1})_+. \quad (19)$$

Во втором случае в выражениях (7), (10), (11), (15) можно пренебречь слагаемыми  $\dots)_+$ ,  $1\{\dots\}$ . В результате функции  $B_{ri}(t)$  после простых преобразований запишем так:

$$B_{ci}(t) = \left[ \frac{t}{2^n} \right]; \quad (20)$$

$$B_{ai}(t) = \left[ \frac{t}{2^{i-1}} \right] - \left[ \frac{t}{2^n} \right]; \quad (21)$$

$$B_{di}(t) = (2^{i-1} - 1) \left[ \frac{t}{2^n} \right]; \quad (22)$$

$$B_{bi}(t) = t - \left[ \frac{t}{2^{i-1}} \right] - (2^{i-1} - 1) \left[ \frac{t}{2^n} \right]. \quad (23)$$

Сравнивая между собой функции  $B_{ri}(t)$ , можно по таблице установить наиболее вероятные значения погрешности. При этом выявляется определенное различие двух рассмотренных режимов работы. Если  $t \ll$

$\leq 2^n - 1$ , то для  $i$  младших разрядов счетчика наиболее вероятной оказывается величина погрешности  $-2^{i-1}$ , а для старших разрядов  $2^{i-1}$  и  $2^{i-1} - 2^n$ . Если же  $t \gg 2^n$ , то для младших разрядов наиболее вероятны величины погрешности  $2^{i-1}$  и  $-2^{i-1}$ , а для старших  $2^{i-1}$  и  $2^{i-1} - 2^n$ .

Компонента распределения погрешности (см. таблицу), которой соответствует погрешность 0, означает вероятность  $p(t)$  правильного показания счетчика при  $t$  поданных на его вход единичных импульсах. Поскольку, согласно (7), (10), (13), (15),

$$B_{ai}(t) + B_{ci}(t) = \left[ \frac{t}{2^{i-1}} \right]; \quad (24)$$

$$B_{bi}(t) + B_{di}(t) = t - \left[ \frac{t}{2^{i-1}} \right], \quad (25)$$

получаем

$$\bar{p}(t) = 1 - t \sum_{i=1}^n \varepsilon_{ii} - \sum_{i=1}^n (\varepsilon_{ii} - \varepsilon_{il}) \left[ \frac{t}{2^{i-1}} \right]. \quad (26)$$

Как видно из (26), несрабатывание триггеров, по сравнению с их ложными срабатываниями, оказывают слабое влияние на надежность показаний счетчика. Причина такого явления в том (см. рис. 2), что такты  $Q$ , в которые возможна ошибка в виде несрабатывания триггера, составляют незначительную часть остального времени работы счетчика, когда возможны ложные срабатывания триггеров.

По распределению вероятностей погрешности можно найти статистические характеристики погрешности. Вычислим две из них — математическое ожидание  $\Delta$  и среднеквадратическое отклонение  $\sigma$ . Имеем:

$$\begin{aligned} \Delta = & - \sum_{i=1}^n 2^{i-1} B_{ai}(t) \varepsilon_{ii} + \sum_{i=1}^n 2^{i-1} B_{bi}(t) \varepsilon_{ii} + \\ & + \sum_{i=1}^n (2^n - 2^{i-1}) B_{ci}(t) \varepsilon_{ii} + \sum_{i=1}^n (2^{i-1} - 2^n) B_{di}(t) \varepsilon_{ii}; \end{aligned} \quad (27)$$

$$\begin{aligned} \sigma^2 = & \sum_{i=1}^n 2^{2i-2} B_{ai}(t) \varepsilon_{ii} + \sum_{i=1}^n 2^{2i-2} B_{bi}(t) \varepsilon_{ii} + \\ & + \sum_{i=1}^n (2^{2n} - 2^{n+i} + 2^{2i-2}) B_{ci}(t) \varepsilon_{ii} + \\ & + \sum_{i=1}^n (2^{2n} - 2^{n+i} + 2^{2i-2}) B_{di}(t) \varepsilon_{ii}. \end{aligned} \quad (28)$$

Положим, что вероятность ошибки триггера не зависит от номера разряда, т. е.  $\varepsilon_{ii} = \varepsilon_h$ ,  $\varepsilon_{il} = \varepsilon_l$ . Будем рассматривать только случаи  $t \leq 2^n - 1$  и  $t \gg 2^n$ . Подставляя в (27), (28) выражения функций  $B_{ri}(t)$  и выполняя суммирование, найдем:

$$\Delta = \Delta_h \varepsilon_h + \Delta_l \varepsilon_l; \quad (29)$$

$$\sigma = \sqrt{m_h \varepsilon_h + m_l \varepsilon_l}, \quad (30)$$

$$-2^n 1(t - 2^{n-1}) \cdot 1(2^n - t) \{t - 0,5(n + \log_2(2^n - t) + 1) \times \\ \times (n - \log_2(2^n - t))\}; \quad (32)$$

$$m_n = t(2^{\min(n, \log_2 t + 1)} - 1) + 2^{n+1} \left[ \frac{t}{2^n} \right] (2^{n-1}n - 2^n + 1); \quad (33)$$

$$m_n = t \left( \frac{4^n}{3} - 2^{\min(n, \log_2 t + 1)} + \frac{2}{3} \right) + 2^{n+1} \left[ \frac{t}{2^n} \right] \times \\ \times \left( \frac{4^n}{6} - 2^{n-1}(n-1) - \frac{2}{3} \right) + 2^{n+1} 1(t - 2^{n-1}) \cdot 1(2^n - t) \times \\ \times \left\{ \frac{5 \cdot 2^{n-1} t}{3} - \frac{2t^2}{3} - 2^{n-2}(n + \log_2(2^n - t) + 1)(n - \log_2(2^n - t)) \right\} \quad (34)$$

представляют собой коэффициенты слагаемых математического ожидания и дисперсии погрешности, учитывающих несрабатывания (н) и ложные срабатывания (л) триггеров. Графики функций  $\Delta_n(t)$ ,  $\Delta_l(t)$ ,  $m_n(t)$ ,  $m_l(t)$  показаны на рис. 3—6. Анализ этих функций приводит к следующим выводам.

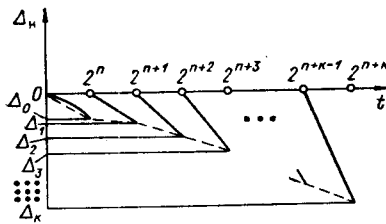


Рис. 3. График функции  $\Delta_n(t)$ :  
 $\Delta_0 = -n(2^n - 1)$ ;  $\Delta_i = -n(2^n + i - 1) - 1$ ;  $i = 1, 2, \dots, k$ .

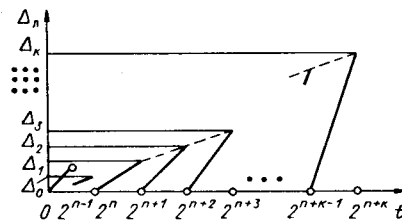


Рис. 4. График функции  $\Delta_l(t)$ :  
 $\Delta_0 = 2^{n-1}(n(n-1)-2)+1$ ;  $\Delta_i = (2^n-n-1)(2^n+k-2^n+k-1)-1$ ;  $i = 1, 2, \dots, k$ .

1. Математическое ожидание погрешности равно нулю при  $t=0$ ;  $2^{k+\frac{1}{2}}$  ( $k=0, 1, 2, \dots$ ) (см. рис. 3, 4).

2. Составляющая  $\Delta_n = \Delta_n \varepsilon_n$  математического ожидания погрешности, учитывающая несрабатывания ( $\Delta_l = \Delta_l \varepsilon_l$  — ложные срабатывания) триггеров, неположительна (неотрицательна) (см. рис. 3, 4).

3. Пусть  $t \gg 2^n$  или  $t \leq 2^{n-1}$ . Тогда при  $\varepsilon_n \approx \varepsilon_l$  или  $\varepsilon_l \gg \varepsilon_n$  уже для небольшого числа  $n$  разрядов имеет место  $|\Delta_l| \gg |\Delta_n|$ ; если же  $\varepsilon_n \gg \varepsilon_l$  (т. е. ошибки в триггере происходят главным образом в момент действия опрокидывающего входного импульса), то для малых  $n$  выполняется неравенство  $|\Delta_n| \gg |\Delta_l|$ , а для больших  $n$  — неравенство  $|\Delta_l| \gg |\Delta_n|$ . В случае  $2^{n-1} < t \leq 2^n - 1$  порядок величины  $|\Delta_l| / |\Delta_n|$  равен порядку величины  $\varepsilon_l / \varepsilon_n$ .

4. Дисперсия  $\sigma^2$  погрешности является ступенчатой монотонно возрастающей функцией от  $t$  (см. рис. 5, 6).

5. Если  $\varepsilon_h \approx \varepsilon_l$  или  $\varepsilon_l \gg \varepsilon_h$ , то  $m'_l = m_l \varepsilon_l \gg m'_h = m_h \varepsilon_h$  (т. е. составляющая дисперсии погрешности, связанная с ложными срабатываниями, превалирует), причем в случае  $\varepsilon_h \approx \varepsilon_l$  это соотношение выполняется при  $n \geq 7$ , а в случае  $\varepsilon_l \gg \varepsilon_h$  — при любом  $n$ . Если же  $\varepsilon_l \ll \varepsilon_h$ , то указанное неравенство выполняется лишь при достаточно больших  $n$  (порядка  $n \geq 12$ ), в то время как при малых  $n$  (порядка  $n \leq 5$ ) имеет место  $m'_l \ll m'_h$  (превалирует составляющая дисперсии погрешности, связанная с несрабатываниями триггеров).

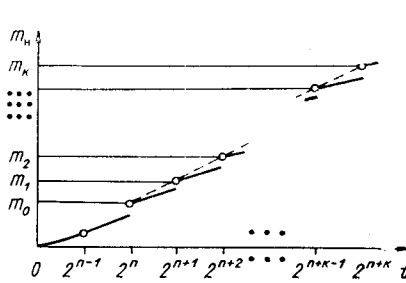


Рис. 5. График функции  $m_h(t)$ :  
 $m_i = 2^n + i((n+1)2^n - 2^n + 1 + 1); i = 0, 1, \dots, k.$

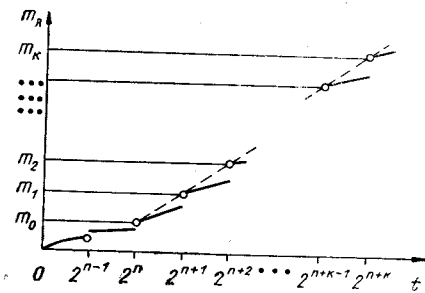


Рис. 6. График функции  $m_l(t)$ :  
 $m_i = 2^n + i\left(\frac{2}{3}4^n - n2^n - \frac{2}{3}\right); i = 0, 1, \dots, k.$

6. Между среднеквадратическим  $\sigma$  погрешности и ее математическим ожиданием  $\Delta$  существует соотношение  $\sigma \gg |\Delta|$ , справедливое для различных времен  $t$  ( $t \leq 2^n - 1$  или  $2^n$ ) и практически для любых значений  $n\varepsilon_h$  и  $\varepsilon_l$ .

7. Согласно п.п. 5, 6, доминирующими слагаемыми погрешности показаний счетчика являются: а) при  $\varepsilon_h \approx \varepsilon_l$  и  $n \geq 7$  или  $\varepsilon_l \gg \varepsilon_h$  и любых  $n$  или при  $\varepsilon_l \ll \varepsilon_h$  и  $n \geq 12$  слагаемое  $\sigma_l = \sqrt{m_l \varepsilon_l}$ ; б) при  $\varepsilon_l \ll \varepsilon_h$  и  $n \leq 5$  слагаемое  $\sigma_h = \sqrt{m_h \varepsilon_h}$ .

Из сделанных выводов следует, что, как правило, доминируют те составляющие погрешности счетчика, которые связаны с ложными срабатываниями триггеров [см. зависимости вероятности  $p(t)$ , данной в (26)].

Полученные результаты позволяют вычислить, исходя из требуемой точности, максимально допустимое число  $n^*$  разрядов счетчика. Найдем  $n^*$  для случая, описанного в п. 7, а. Из формулы (34) можно получить следующую оценку для абсолютной погрешности показаний счетчика:

$$\sigma_a \leq \begin{cases} 2^n \sqrt{\frac{2\varepsilon_l t}{3}}; & t \gg 2^n; \\ 2^{n+1} \sqrt{\frac{\varepsilon_l t}{3}}; & t \leq 2^n - 1. \end{cases} \quad (35)$$

Переходя к относительным погрешностям  $\delta$ , согласно

$$\sigma = \begin{cases} \sigma_a/t - 2^n \left[ \frac{t}{2^n} \right]; & t \gg 2^n; \\ \sigma_a/t; & t \leq 2^n - 1, \end{cases} \quad (36)$$

найдем

$$\delta = \begin{cases} 2^{n(1+0.5k)} \sqrt{0.66 \epsilon_L}; & t = 2^{nk} \gg 2^n, \\ 2^{n+1} \sqrt{0.33 \epsilon_L}; & t \leq 2^n - 1. \end{cases} \quad (37)$$

Отсюда

$$n^* = \begin{cases} \frac{\log_2 (\delta / \sqrt{0.66 \epsilon_L})}{1 + 0.5k}; & t = 2^{nk} \gg 2^n; \\ \log_2 (\delta / \sqrt{0.33 \epsilon_L}) - 1; & t \leq 2^n - 1. \end{cases} \quad (38)$$

Пусть, например, требуется обеспечить  $\delta = 10^{-2}$  в режиме счета (когда  $t \leq 2^n - 1$ ), причем  $\epsilon_L = 10^{-10}$ . Тогда из (39) получим  $n^* = 9$ .

Этот пример показывает, что точность ЦИП, связанная с помехоустойчивостью цифровой части, в значительной степени определяет общую точность прибора.

#### ЛИТЕРАТУРА

1. Э. И. Гитис. Преобразователи информации для электронных цифровых вычислительных устройств. М., Госэнергоиздат, 1961.
2. В. Б. Смолов, Н. А. Смирнов (ред). Полупроводниковые кодирующие и декодирующие преобразователи. Л., «Энергия», 1967.
3. В. И. Левин. Вероятностный анализ ненадежных автоматов. Рига, «Зинатне», 1969.

Поступила в редакцию  
14 июля 1969 г.,  
окончательный вариант —  
10 февраля 1970 г.